

# 單一시린더機關에 있어 往復質量에 依한 二次共振에 관한 연구

崔 在 星 · 全 孝 重

**A study of secondary resonance induced by the  
reciprocating mass of single cylinder engine**

CHOI JAE-SUNG · JEON HIO-JUNG

目 次	
1. 序 論	5. 結 論
2. 理論的인 考察	參考文獻
3. 實驗裝置 및 實驗方法	附 錄
4. 數值計算과 實驗結果의 比較検討	

## ABSTRACT

In recent years several cases of so-called secondary resonance have been found in torsional vibration of crankshaft systems of multi-cylinder engines.

The phenomena of the secondary resonance remained a mystery for some time, because it could not be explained by the simple linear vibration theory commonly used for the practical calculation of torsional vibration in crankshaft systems.

The analysis of torsional vibrations in reciprocating engine systems is used to be carried out by neglecting the variation in inertia moments of the system causing from the motion of the reciprocating parts. When the variable effect is taken into account, the equation of the motion becomes non-linear.

In this paper, an approximate equation of the motion of the single cylinder crankshaft is derived theoretically to study the effect of reciprocating mass. The stability criterion of the equation is investigated theoretically and ascertained experimentally.

To verify the result of the analysis, a model of crankshaft system is set up in the laboratory and its vibrations are observed and with the data of the model, the derived equation of the motion is calculated by a digital computer.

### 記號說明

$J(\alpha)$  : 往復部分 및 크랭크의 全慣性모우먼트

$J_r$  : 플라이휠의 慣性모우먼트

$J_o$  : 크랭크암과 連接棒의 回轉部分의 慣性모우먼트의 合

$J_c$  :  $J_o + \frac{1}{2}mr^2$

$m$  : 피스턴과 連接棒의 往復部分의 質量

$k$  : 軸의 스프링 定數

$\beta$  :  $(\frac{1}{2}mr^2) / (J_o + \frac{1}{2}mr^2)$

$\lambda$  :  $r/\ell$

$r$  : 크랭크암의 길이

$\omega$  : 크랭크軸의 回轉速度

$\omega_n$  : 固有角振動數

$n$  :  $\omega_n/\omega$

$\alpha$  : 크랭크回轉角( $\omega t + x$ )

$x$  : 비틀림振動振幅

### 1. 序論

往復動機關의 軸系振動에 있어서 비틀림振動에 關한 研究는 지금까지 많은 發展을 해왔다.

그런데 最近 大形舶用機關의 크랭크軸系에豫期치 않은 事故가 때때로 發生하였다는 報告가 있다.<sup>4)</sup>

機關의 振動特性에 關한 지금까지의 傳統的인 應力解析方法에 의하면 軸系의 強度는 充分히 安全限度안에 들어 있었기 때문에, 그 原因은 상당히 오랫동안 不可思議한 問題로 看做되어 왔다. 그러나 近年에 이르러 이것은 크랭크軸系의 비틀림振動에 發生하는 2次共振現象에 의하여 비틀림振動應力이豫期했던 값보다 커기 때문이라는 것이 밝혀졌다.<sup>4)</sup> 지금까지의 비틀림振動의 解析은 往復運動에 의해서 發生하는 慣性모우먼트의 變化를 無視하고 이것을 단순한 線形振動으로 다루었기 때문에 從來의 應力解析方法으로는 이러한 2次共振의 現象을 解析할 수가 없었다.

2次共振에 關한 理論은 Draminsky<sup>1) 2) 3)</sup>, Carnegie<sup>4) 5)</sup>, Goldsbrough<sup>6) 7)</sup>等에 의하여 研究되어 왔으나 結局은 普通의 線形振動理論으로 計算될 수 없는 非線形振動의 한 種類라는 것이 밝혀졌다.

一般的으로 크랭크軸系의 비틀림振動을 方程式으로 表示하면 다음과 같이 쓸 수 있을 것이다.

$$J\ddot{x} + c\dot{x} + kx = Q\sin(\omega t + \phi)$$

윗 式에서 알 수 있듯이 振動方程式에는 時間  $t$ 와 振動振幅  $x$ 에 따라서 4개의 係數 즉  $J, c, k,$

그리고  $Q$ 가 있다. 엄밀하게 말하자면 각 係數는 각己 다른 非線型性에 의하여 變化하지만 크랭크軸系의 振動에 있어서 減衰係數  $c$ 는 항상 작은 값이기 때문에 그 變化가 振動에 對하여 관찰할 만한 영향을 가질 수 없어  $c$ 의 變動值은 無視할 수 있다.

스프링定數  $k$ 는 振動應力이 軸의 材質의 安全 限度 内에 있을 때는 常數로 생각할 수 있으며 外力의 하아모닉스  $Q$ 는 機關의 負荷에 따라서 變化하기 때문에 定常狀態에서는 變化하지 않을 것이다.

結果의으로 惯性모우먼트  $J$ 의 變化만을 생각하면 된다. 惯性모우먼트  $J$ 의 變化는 피스턴과 連接棒의 振動質量에 의하여 시린더當 상당한 크기로 된다. 실제의 振動計算에 있어서는 普通이 變動을 無視하고 變動慣性모우먼트는 平均值로써 計算하여 이렇게 하더라도 사실상 실제적인 目的에 대하여서는 充分한 精이지 않아 正確하지 않은 近似值이다.

지금까지 發表된 크랭크軸系 비틀림振動의 二次共振現象에 관한 論文이 모두 發生하는 現象을 定性的으로만 考察하고 있기 때문에 具體的으로 二次共振現象을 把握하기 고란한 點이 많다.

本論文에서는慣性모우먼트變化의 영향에 관하여 가장 간단한单一시린더의 경우에 대하여理論적으로考察하여 보고,单一시린더의模型크랭크軸系를 만들어서 實測值와理論的으로計算한計算值得比較檢討하여從來에抽象적으로만說明되어오던크랭크軸系비틀림振動의二次共振現象을具體적으로 고찰하였다. 또한誘導된非線型振動方程式에本 실험장치의 資料를導入한 다음digital computer를利用하여數值計算한理論值와實測值得比較檢討하였다.

## 2. 理論的인 考察

그림 1과 같은 크랭크軸系에 있어서 퍼스팅의 運動은 近似的으로 다음과 같이 表示할 수 있다.

$$\frac{dy}{d\alpha} = r \left( \sin\alpha + \frac{1}{2}\lambda \sin 2\alpha \right)$$

단, 여기서  $y$ 는 피스턴의 上死點으로부터의 移動距離를 나타내며  $r$ 는 크랭크 半徑,  $\lambda$ 는 連接棒과 크랭크半徑 길이의 比,  $\alpha$ 는 피스턴이 上死點에 있는 때로부터 쟈크랭크 角이다.  $J$ 는 連接棒의 크랭크軸端回轉質量을 包含하는 크랭크軸全體의 回轉部分의 慣性모우먼트로서 一定한 值을 갖는다.

그림2에서 피스턴과 連接桿의 피스턴側往復質量  $m$ 은 크랭크가 시린디  
中心線과一致할 때는 크랭크軸의 惯性모우먼트에 아무런 영향을 미치  
지 않는다. 반대로 크랭크가 上死點에 대하여  $90^\circ$ 나  $270^\circ$ 를 이룰 때는  
 $mr^2$ 의 惯性모우먼트를 加하여 주게된다. 크랭크角이  $\alpha$ 일 때 크랭크의  
慣性모우먼트에 미치는 往復質量의 영향은 式(1)로 부터

그림 1 크래프트機構

$$mr^2 \left( \frac{dy}{r d\alpha} \right)^2 = mr^2 \left( \sin\alpha + \frac{1}{2}\sin 2\alpha \right)^2$$

$$= \frac{1}{2}mr^2 \left( 1 + \frac{1}{4}\lambda^2 \right) + \frac{1}{2}mr^2 \left( \lambda \cos\alpha - \cos 2\alpha - \lambda \cos 3\alpha - \frac{1}{4}\lambda^2 \cos 4\alpha \right)$$

一般的으로  $\lambda$ 의 값은 0.25 정도이므로  $\frac{1}{4}\lambda^2$ 의 항을 무시하면

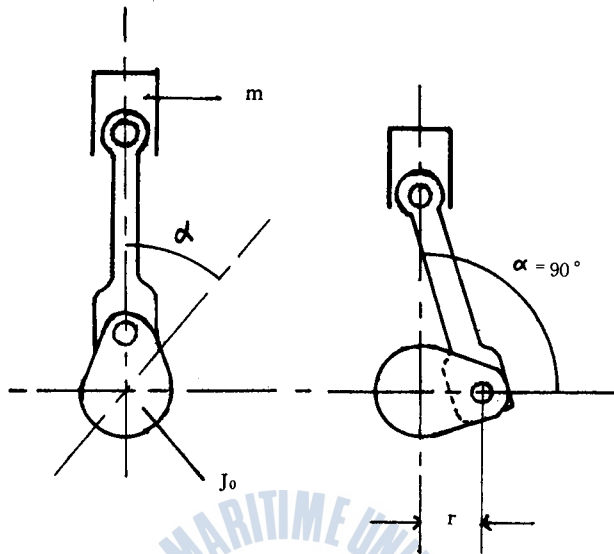


그림 2 往復動部分의 變動慣性 모우먼트

$$mr^2 \left( \frac{dy}{rda} \right)^2 = \frac{1}{2} mr^2 + \frac{1}{2} mr^2 (\lambda \cos \alpha - \cos 2\alpha - \lambda \cos 3\alpha)$$

지금  $J_c = J_o + \frac{1}{2}mr^2$ ,  $\beta = \frac{\frac{1}{2}mr^2}{J_o + \frac{1}{2}mr^2}$  라 하면 全慣性모우먼트는

여기서  $p=1, 2, 3$ ,  $\beta_1 = -\lambda\beta$ ,  $\beta_2 = \beta$ ,  $\beta_3 = \lambda\beta$  이다.

式(2)에서 알 수 있는 바와 같이慣性모우먼트의變動成分은 3個가 있지만 가장 영향이 큰  
 $p=2$ 인 경우를 생각하기로 한다. 따라서 式(2)를 다시 쓰면

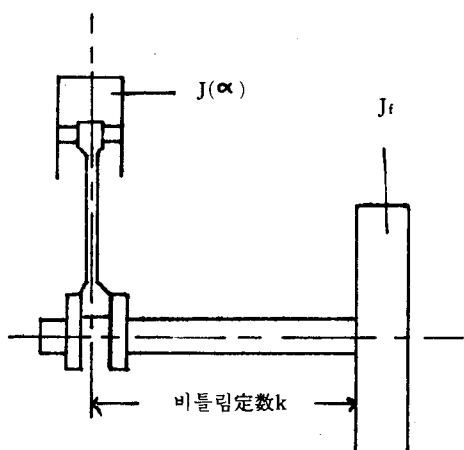


그림 3 쿠 플라이휠을 갖는單一シリerde 機關

너지를 구하면,

$$= \frac{1}{2} J_c (1 - \beta \cos 2\alpha) \left( \frac{d\alpha}{\mu} \right)^2 \quad \dots\dots (4)$$

크랭크軸系를 單純化하여 그림 3과 같이 플라이휠  $F$ 와 크랭크암  $C$  및 피스턴  $p$ 로構成된系를 생각하고 그의 크랭크側와 플라이휠側의각각의 경우에 대하여 Lagrange 方程式을適用한다. 以下, 本論文에서는 減衰係數  $c$ 의 영향은 絶으로無視하고 保存系의 경우를생

각한다.

### (1) 플라이휠에 대한 경우

그림(3)에서 플라이휠의慣性모우먼트를  $J_f$ , 角變位를  $\alpha_i$ 이라하고 플라이휠의慣性모우먼트  $J_f$ 가無限히크다고하면,즉 $J_f \rightarrow \infty$ 이면

단,  $\omega$ 는 플라이휠의 角速度,  $\theta$ 는 積分常數이다. 그런데  $t=0$ 일 때  $\alpha_1=0$ 이므로  $\theta=0$ , 따라서  $\alpha_1=\omega t$

여기서  $\alpha_1$ 과  $\alpha_2$ 는 振動振幅만큼의 差가 있으므로 振動振幅을  $x$ 라하면

### (2) 크랙 크기에 대한 경우

그림 3에서 弹性에너지  $U$ 는 다음과 같다.

式(4) 式(8) 및 式(9)를 式(5)에 代入하면

$$J_c(1 - \beta \cos 2\alpha) \frac{d^3\alpha}{dt^2} + \beta J_c \sin 2\alpha \left( \frac{d\alpha_1}{dt} \right)^2 + kx = 0 \quad \dots \dots \dots (10)$$

式(8)에서  $\frac{d\alpha}{dt} = \omega + \frac{dx}{dt}$ ,  $\frac{d^2\alpha}{dt^2} = \frac{d^2x}{dt^2}$ 이므로 式(10)에 代入하면

$$J_c(1-\beta\cos 2\alpha)\frac{d^2x}{dt^2} + \beta J_c \sin 2\alpha \left(\omega + \frac{dx}{dt}\right)^2 + kx = 0$$

微小項  $\left(\frac{dx}{dt}\right)^2$  項을 省略하면

$$J_c(1-\beta\cos 2\alpha)\frac{d^2x}{dt^2} + 2\beta J_c\omega \sin 2\alpha \frac{dx}{dt} + kx$$

$$= -\beta J_c \omega^2 \sin 2\alpha$$

원式은 다시 단율과 같이 된다.

$$\omega^2 J_c(1 - \beta \cos 2\alpha) \frac{d^2 x}{d(\omega t)^2} + 2\beta \omega^2 J_c \sin 2\alpha \frac{dx}{d(\omega t)} + kx$$

$$= -\beta I_c \omega^2 \sin 2\alpha$$

그런데  $\frac{d^2x}{d(\omega t)^2} \div \frac{d^2x}{d\alpha^2}$ ,  $\frac{dx}{d(\omega t)} \div \frac{dx}{d\alpha}$  이므로 이를 代入하고兩邊을  $\omega^2 J_c$ 로 나누어 同次方程

式을 생각하면 다음과 같이 된다.

$$(1 - \beta \cos 2\alpha) \frac{d^3 x}{dx^2} + 2\beta \sin 2\alpha \frac{dx}{dx} + n^3 x = 0 \quad \dots \dots \dots \quad (11)$$

$$\text{단 } k/J_c = \omega_n^2, \quad n = \omega_n/\omega$$

式 (11)은 다시  $x=y \exp \left[ -\int \frac{\beta \sin 2\alpha}{1-\beta \cos 2\alpha} d\alpha \right]$ 로 놓으면

$(1 - \beta \cos 2\alpha)^{-2} = 1 + 2\beta \cos 2\alpha$  를 이용하고  $\beta^2$  以上의 微小項을 省略하면 式은 結局 다음과 같아 된다.

$2\alpha = z$ 라 하면

$$\frac{d^2y}{dz^2} + \left\{ \frac{1}{4}n^2 - \frac{1}{4}\beta(2-n^2)\cos z \right\} y = 0$$

$z \rightarrow z + \pi$ 로置換하면

式(14)는典型的인 Mathieu 方程式의 性能을 갖추고 있다. 즉

Mathieu 方程式은 代表의인 非線型方程式의 一種으로서 通常의 微分方程式과 같은 解를 求하는 것이 困難하므로 여기서는 그 解의 安定性을 檢討하여 본으로서 必要한 結果를 얻어 그 허

그런데 여기서는  $x = \frac{1}{\sqrt{1-\beta \cos 2\alpha}} y$  이므로  $x$  代身  $y$ 의 安定性에 對하여 論하면 된다.  $\beta$ 가 微

$$a_1 = \frac{1}{2} \varepsilon^2$$

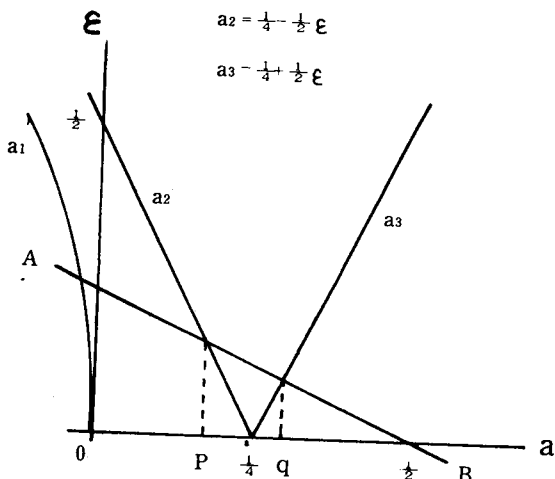


그림 4. Mathieu 方程式(15)의 安定判別圖

小하므로  $(a, 2b)$  平面의 原點, 즉,  $a=2b=0$  近傍에 있어서의 系의 安定性에 對하여 考察하기로 한다.  $2b=\epsilon$ 라 놓고  $|\epsilon|$ 가 微小하면 (本論文의 경우 이 假定은 妥當하다) 式(15)의 安定判別 圖는 그림4와 같이 된다.<sup>8)</sup> [附錄]

그림4에서 直線 $AB$ 는 式(16)에 依하여 表示되는 直線이다. 즉

이다. 式(17)에 依하면 直線  $AB$ 는 恒常 ( $2b=0, a=\frac{1}{2}$ ) 인 點을 지나고 기울기는  $\beta$ 의 值에 依하여 定하여 진다. 그림4에서 直線  $AB$ 와  $a_1$  및  $a_3$ 가 만나는 點의  $a$ 座標를 각자  $p, q$ 라 하면 式 (16)으로 부터

가 된다. 그러므로

$$p < a < q$$

에서 不安定하게 된다. 즉,

다시 式(2)로 돌아가서  $\beta_1$ 의 項, 즉  $\lambda\beta\cos\alpha$ 의 項을 생각하면 式(13)은 다음과 같이 된다.

$$\frac{d^2y}{dx^2} + \{n^2 - \beta(2-n^2)\lambda \cos\alpha\}y = 0$$

式(13)에서 式(18)까지의 過程을 같은 方法으로 適用하면

$$\left. \begin{array}{l} a' = n^2 \\ 2b' = \beta\lambda(2 - n^2) \end{array} \right\} \quad \dots \dots \dots \quad (16')$$

$$2b' = \beta\lambda(2-a')$$

$$p' = \left( \frac{1}{4} - \beta \lambda \right) / \left( 1 - \frac{\beta}{2} \lambda \right) \quad | \quad \dots \dots \dots \quad (18')$$

$$q' = \left( \frac{1}{4} + \beta \lambda \right) / \left( 1 + \frac{1}{2} \beta \lambda \right)$$

따라서

通常의 비틀림振動解析에 있어서 플라이휠을 갖는 單一시린더 크랭크軸系는 1自由度系로 다  
루어지며 따라서 이때에 系의 비틀림振動이 不安定하게 되는 點은 共振點 하나 뿐이었다. 그려  
나 이때에 往復質量에 依한 慣性모우먼트의 變動을 考慮에 넣으면 지금까지 檢討한 바와 같이  
共振點 以外에도 또다른 不安定한 點이 있다는 것을 알 수 있다. 위의 內容에 있어  $2\sqrt{p} < n <$   
 $2\sqrt{q}$ 는 通常의 共振點을 보이는 것이며  $\sqrt{q} < n' < \sqrt{q'}$ 는  $\omega = 2\omega_n$ , 즉,  $n = n' = 1/2$ 近處에 일어나는

不安定領域으로서 소위 2次共振이라는 현상이다.

이와같이 2次共振현상은 往復質量에 依한 慣性모우먼트의 變動이 起起하는 現象으로서 從來와 같이 惯性모우먼트가 一定하다는 計算으로는 說明할 수 없는 現象이다.

### 3. 實驗裝置 및 實驗方法

實驗裝置는 單一 시린더 機關이 軸을 거쳐 플라이휠을 驅動하는 대신에 플라이휠을 거쳐 피스턴을 驅動하는 構造로 하였다. 이렇게 하더라도 解析上의 特性에 아무런 影響을 미치지 않음은 분명하다.

그림5는 實驗裝置의 全體組立圖이며 그림 6은 全體裝置圖이다. 表1은 그의 資料이다.

플라이휠과 驅動軸은 키이홉을 만들어서 固定하고 크랭크암도 같은 方法으로 軸에 固定하였으며 베어링은 4個所에 設置하였다. 피스턴과 피스턴핀 및 시린더라이너는 디이젤機關에서 使用中인 것을 借用하였으며 連接棒은 別途로 製作하여 피스턴과는 機關의 피스턴핀베어링으로, 크랭크핀과는 볼베어링을 利用하여 連結하였다.

플라이휠과 變速모우터를 A형 V벨트로 連結하여 플라이휠을 驅動하도록 하였다.

그림7은 變速모우터를 보이고 있으며 表2는 變速모우터의 特性을 보이고 있다.

그림8은 計測에 使用한 Geiger 비틀립振動計(Geiger torsigraph)를 보이며 表3은 그의 特性을 보여주고 있다.

모우터의 풀리直徑은 6.5cm로서 減速比는 1:5.4이다.

記錄紙에 時間과 回轉數가 記錄되나 모우터側의 回轉數를 整定하기 위하여 스트로보스코우프에 의하여 必要한 回轉數로 設定하고 適當한 간격으로 回轉數를 增加하면서 振動振幅을 記錄하였다. 또한 記錄裝置驅動用 풀리는 記錄을 되도록 正確하게 하기위하여 綿布平ベル트를 使用하였다.

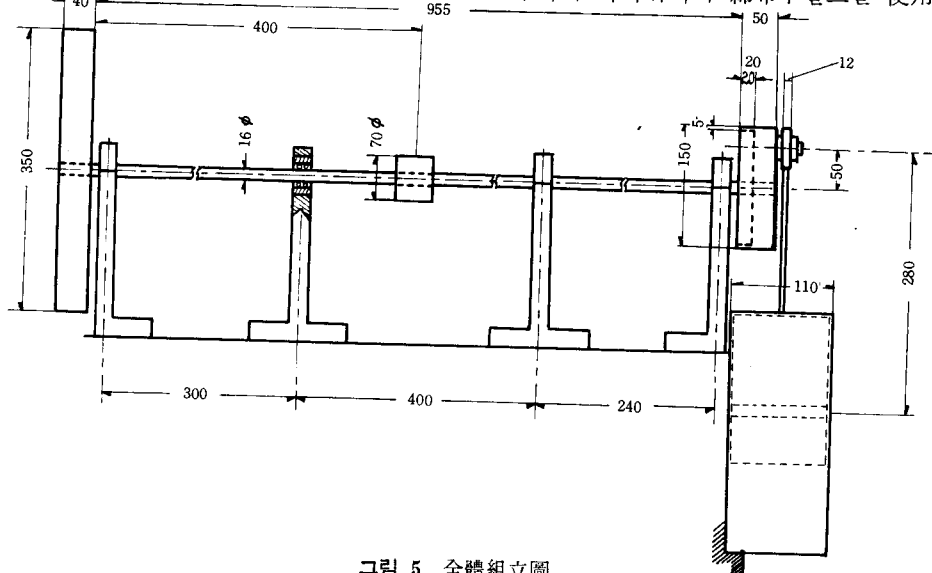


그림 5 全體組立圖

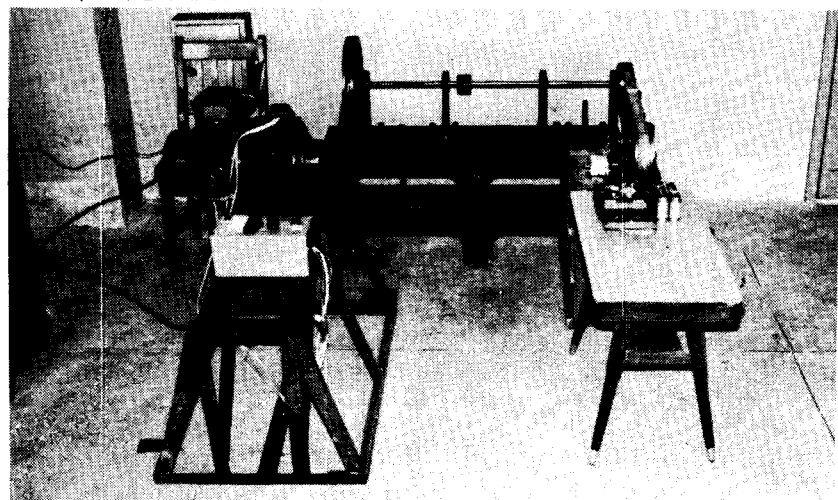


그림 6 全體裝置圖

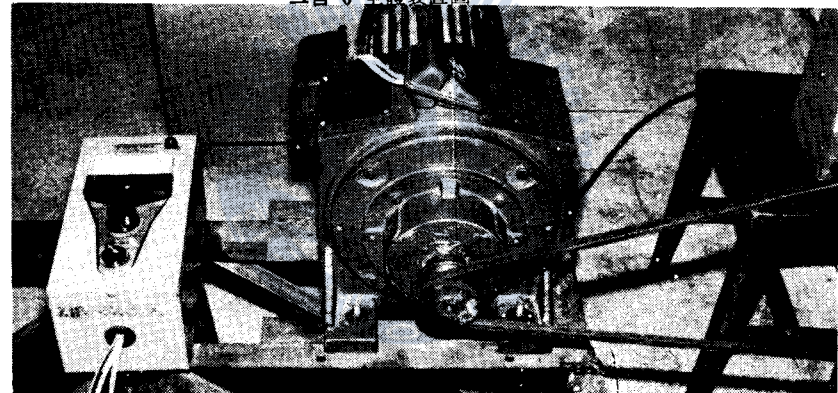


그림 7 變速모우터

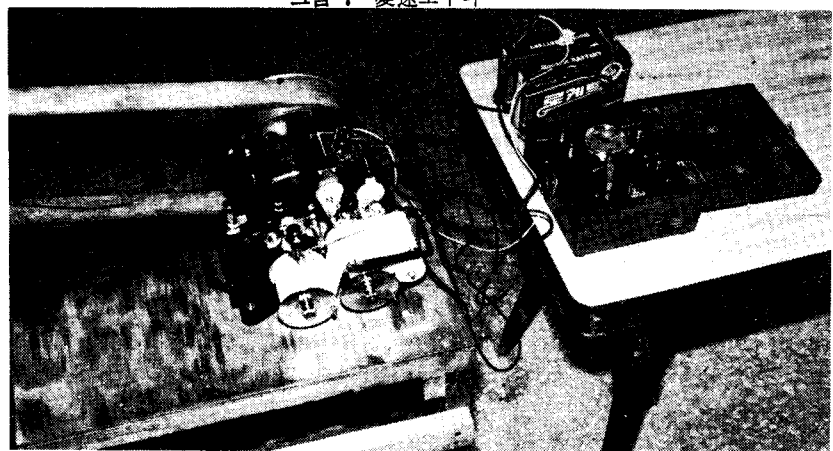


그림 8 Geiger 비틀림진동계

表 1

全體裝置圖의 資料

項 目	記 號	數 值	單 位
플라이휠慣性 모우먼트	$J_f$	4346.69	$kg \cdot sec^2 cm$
크랭크平均慣性모우먼트	$J_c$	194.97	$kg \cdot sec^2 cm$
軸의 비틀림定數	$k$	5284.65	$kg \cdot cm/rad$
往復質量	$m$	3.666	$kg \cdot sec^2 \cdot cm^{-1}$
$(\frac{1}{2}mr^2)/(J_o + \frac{1}{2}mr^2)$	$\beta$	0.2350	
(크랭크半徑)/(連接棒길이)	$\lambda$	0.1786	
固有角振動數	$\omega_n$	5.3217	$rad/sec$
軸의 橫彈性係數	$G$	$8.3 \times 10^5$	$kg/cm^2$

表 2

變速모우터의 特性

項 目	記 記	事
型 式		VSM--FT
出 力		1.5KW(2HP)
電 壓		200V
電 流		6.6A
周波數×極數		60Hz×4p
토오크		$0.8 kg \cdot m$
勵磁電壓×電流		(0~80V) × (0.~4A)
回轉數		150~1500rpm
製作會社		東洋電氣(株)

表 3

Geiger 비틀림진동계의 特性

項 目	記 記	事
製作會社		AKASHI. JAPAN
型 式		GRV-2
固有振動數		1.2 cps
測定振幅範圍		0.1~1.13mm
測定振動數範圍		200~2000cpm
記錄倍率		3, 6, 12倍

#### 4. 數值計算과 實驗結果의 比較檢討

### (1) 固有振動數의 計算

計算에 必要한 資料中 連接棒의 質量은 2個의 同一한 저울을 利用하여 피스턴핀側은 크랭크의 質量에 包含시켜서 各各의 惯性모-우먼트를 求하였다.

表1의 資料에 의하여 模型크래크軸系의 固有振動數를 求하면 다음과 같다.

$$\begin{aligned}\omega_n^2 &= \frac{k}{J_c \times J_f} (J_c + J_f) \\ &= 28.32 \\ \omega_n &= 5.32 \text{ rad/sec}\end{aligned}$$

위의 값을 式(19) 및 (19')에 代入하여 整理하면

따라서 模型크래크軸系는 (20)式과 (21)式에 의하여 定하여지는 篩圍에서 不安定하게 된다.

## (2) 實驗結果

그림9는 模型크랭크에 대하여 얻어진 記錄이다. 變速모우터의 速度가 느린 範圍에서는 出力이 弱하여서 回轉速度가 고르지 못하고 또한 驅動機構에서 發生하는 減衰力 때문에 明白한 發振界限을 보이지 않으나  $\omega = 5.0 \sim 5.4$ 에서 가장 振幅이 크게 나타나며 若干 振幅이 縮小되었다가  $\omega = 9.7 \sim 11.0$ 에서 다시 커지고  $\omega = 11.5$ 에서부터 갑자기 줄어든다.  $\omega = 5.8 \sim 9.2$ 의 範圍에서도 振幅이 크게 나타나는 것은  $\omega_1$ 과  $\omega_2$ 의 兩側共振點에 있어서의 影響이 겹치는데 原因이 있는 것으로 推定된다.

### (3) 電子計算機에 의한 數值計算結果

그림 10은 電子計算機에 의하여 數值計算結果를 圖表로 表示한 것이다.  $\omega = 6\sim 9$ 는 計算結果가

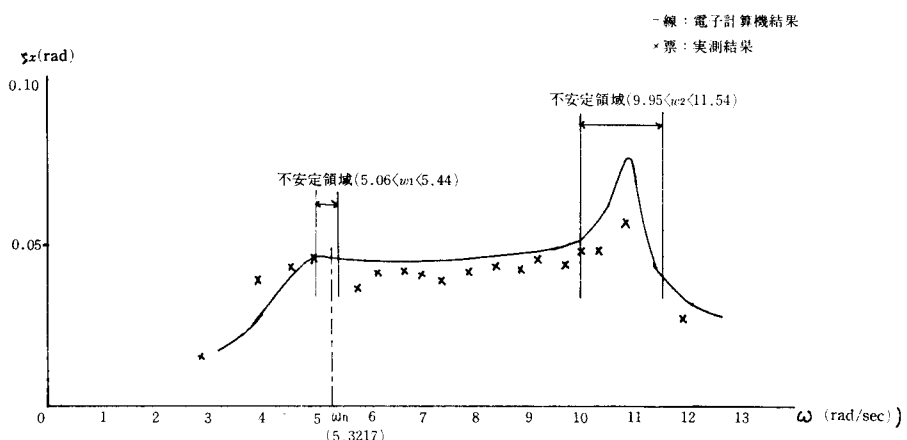


그림 10 電子計算機에 의한 數值計算結果 및 實驗結果에 의한 實測值

(12)

單一 시린더 機關에 있어 往復質量에 依한 二次共振에 關한 研究

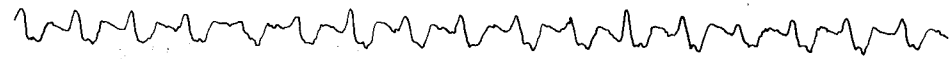
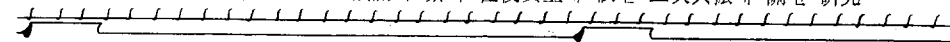


그림 9-1  $\omega = 2.8$

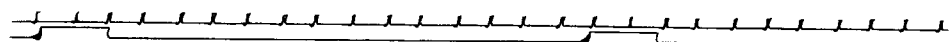


그림 9-2  $\omega = 3.9$

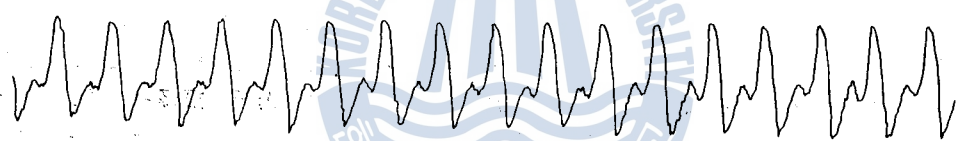


그림 9-3  $\omega = 4.6$

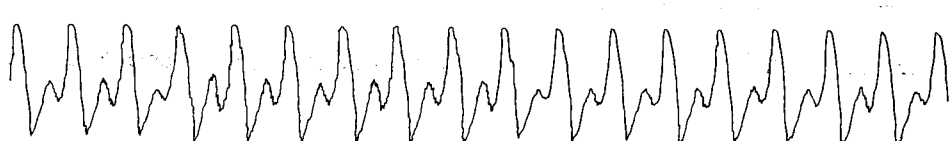


그림 9-4  $\omega = 5.0$

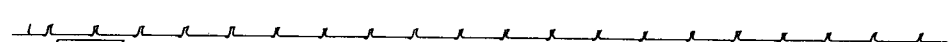


그림 9-5  $\omega = 5.4$

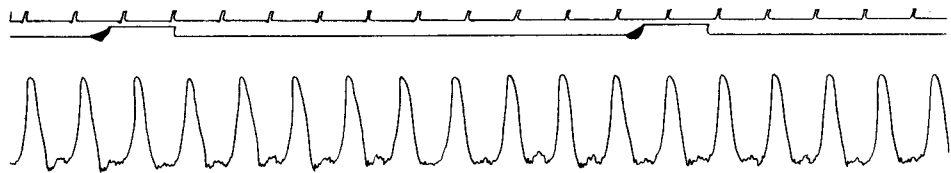


그림 9-6  $\omega = 5.8$

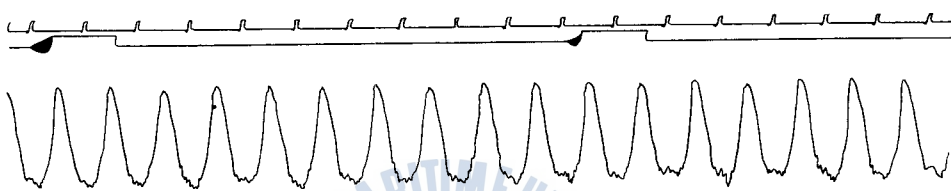


그림 9-7  $\omega = 6.2$

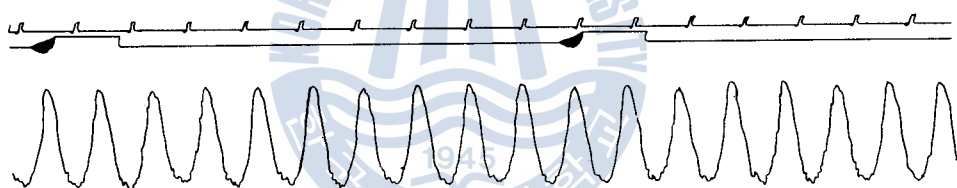


그림 9-8  $\omega = 6.7$

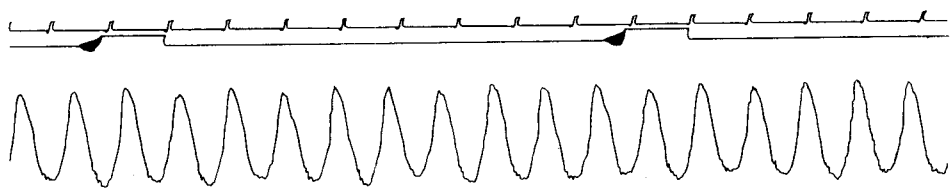


그림 9-9  $\omega = 7.0$

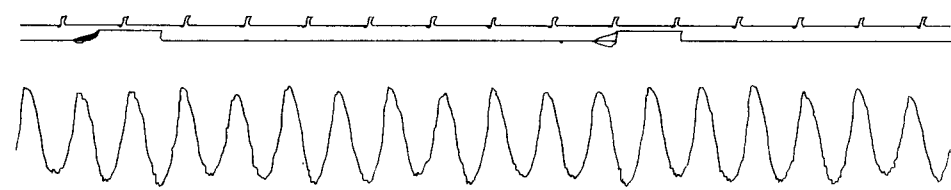


그림 9-10  $\omega = 7.4$

(14)

單一 시린더 機關에 있어 往復質量에 依赴 二次共振에 關한 研究

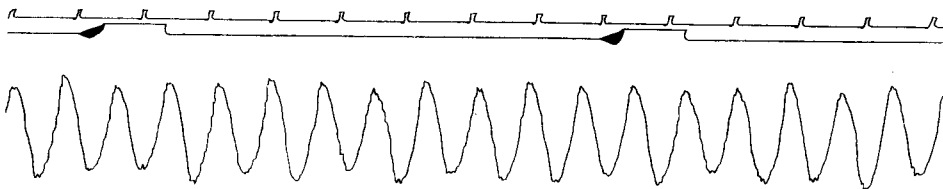


그림 9-11  $\omega = 7.9$

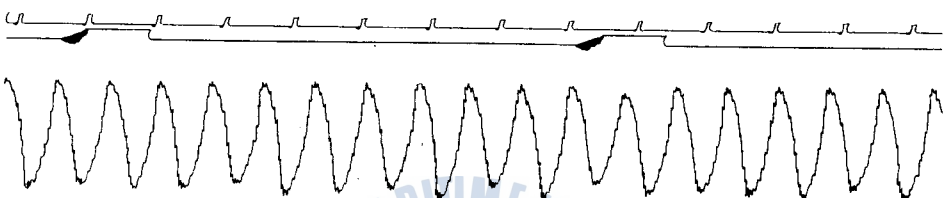


그림 9-12  $\omega = 8.4$

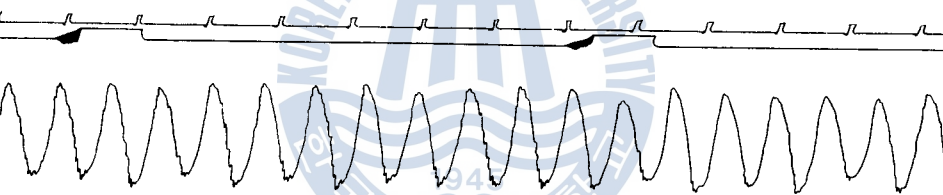


그림 9-13  $\omega = 8.8$

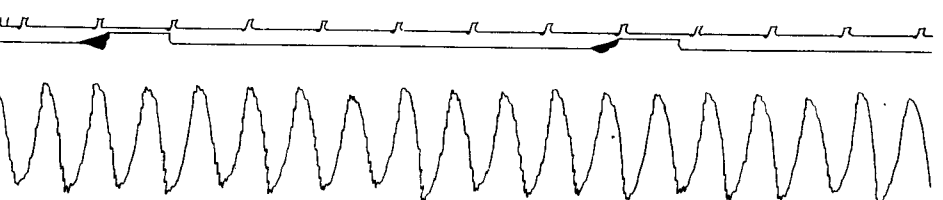


그림 9-14  $\omega = 9.2$

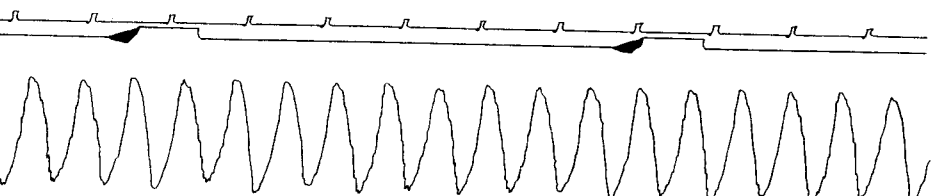


그림 9-15  $\omega = 9.7$

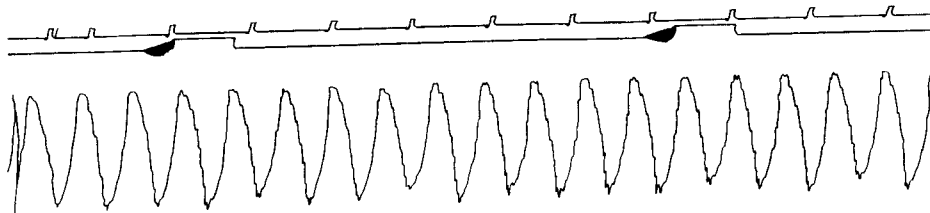


그림 9-16  $\omega = 10.0$

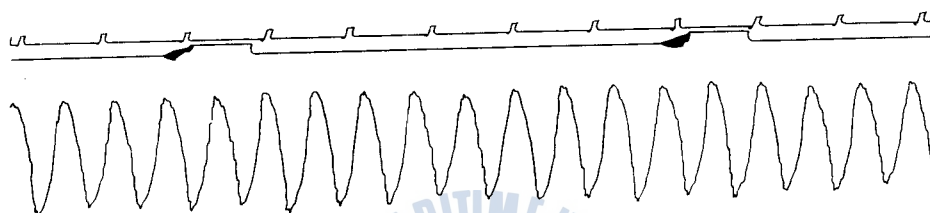


그림 9-17  $\omega = 10.3$

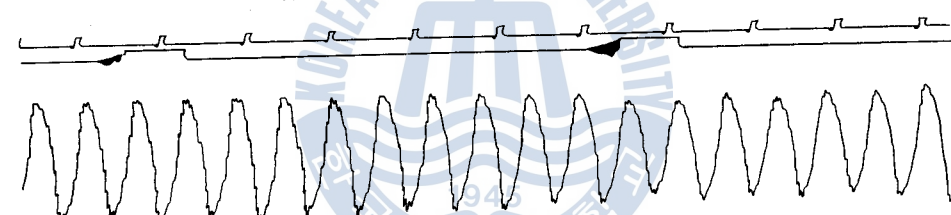


그림 9-18  $\omega = 10.8$

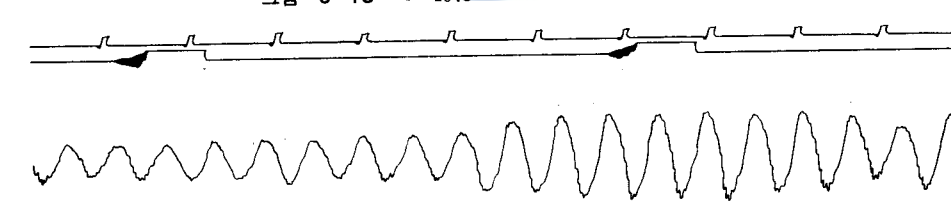


그림 9-19  $\omega = 11.2$

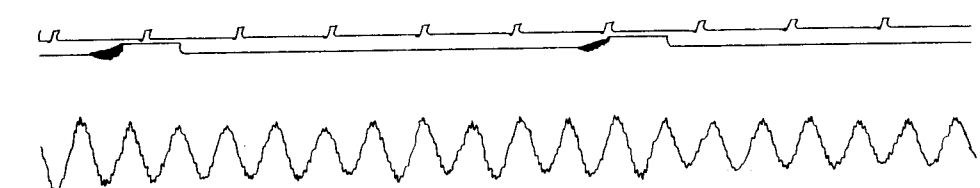


그림 9-20  $\omega = 11.9$

없어서確實한傾向은 알 수가 없으나大體로本論文에서 보이는結果를 보여주고 있다. 또한實測結果와計算結果를比較하여 보기위하여計測한振幅을  $\omega=5$ 의 것을基準으로하여記入하여보았다. 大體로一致하나  $\omega=10.8$ 附近의最大振幅은實測值와計算值의傾向은一致하나크기에相當한差가 있음을보여주고 있다. 이것은實測에서는減衰力이作用하고 있으며고구나減衰力은振幅의제곱에比例함을生覺한다면相當한差가 있음을納得할수 있다.

## 5. 結論

以上의 結論으로서 往復質量을 갖는 크랭크軸系의 비틀림振動을 計算할 때는 通常 往復質量의 影響을 無視하였으나 이때에는 二次共振의 可能性을豫見할 수 있으며, 往復質量을考慮함으로써 비로서 二次共振까지도 檢討할 수 있음을 알 수 있게 되었다.

그러나 往復質量을 考慮할 때에 運動方程式은 相當히 複雜하게 되며 近似計算을 하더라도 簡單明瞭하게 풀이 할 수 없는 非線型微分方程式인 Mathieu 方程式으로 된다.

이 때에는 安全判別法에 의하거나 電子計算機에 의하여 그 틀림을 차이내 수 있다.

결론으로, 본論文에서는 往復質量이 크랭크軸系 비틀振動에 미치는 影響을 가장 簡單한, 큰 풀라이벌을 갖는 單一시린더機關에 關하여 檢討하였으나 좀 더 實用性 있는 結果를 얻기 위해서는 多시린더機關에 對한 檢討가 필요하다.

参考文献

- 1) P. Draminsky, Act Polytechnica Scandinavia, Mech. Engng. Series 10, 1961
  - 2) P. Draminsky, The Marine Engineer and Naval Architect. Jan., 1965, p. 22-25.
  - 3) P. Draminsky, The Marine Engineer and Naval Architect. April, 1965, p. 180-186.
  - 4) W. Carnegie, et al, Trans. I. Mar. E. Vol. 84, 1872 p. 160—167.
  - 5) W. Carnegie, et al, Shipbuil. & Marine Engng. Int., July. 1973. p. 583—584.
  - 6) G. R. Goldsbrough, Proc. Royal Society, Vol. 113. 1926, p. 259—281.
  - 7) G. R. Goldsbrough, Proc. Royal Society Vol. 190 1925, p. 99—119.
  - 8) 高橋利衛, “振動工學 演習” (1) 才一社, 1967, p. 221

## 附 錄

### Mathieu 方程式의 安定判別圖

Mathieu 方程式은 통상 다음과 같이 쓸 수 있다

式(1)에서  $2b = \varepsilon i$ 라 하고  $\varepsilon \rightarrow 0$ 이라 하면 (1)式의 基本解는  $\cos \sqrt{a}z \sin \sqrt{a}z i$ 다. 지금 未知



따라서  $\epsilon'$ 까지의 近似로서 境界線의 方程式은

(2-b)  $y_0 = \sin \frac{z}{2}$  일 때 같은 방법으로境界線의 方程式을 求하면

로 된다. 그러므로 式(7), (8), (9)를  $(a, \varepsilon)$ 座標平面에 그리면 그림4와 같이 된다.

境界線으로 둘러싸인 領域이 安定領域인가 不安定領域인가는 表(4)를 보고 다음과 같이 考察하여 보면 알 수 있다.

즉,  $\epsilon=0$ 이면 特性根이 等根인 경우와 같고 1次獨立인 周期解가 일어진다. 따라서  $\epsilon=0$  때의 轉移值  $a_{ii}$  ( $i=0, 1, 3$ )는 安定領域에 속한다. 또,  $\alpha < 0$ 이면 負의 스프링定數의 경우에 상당하므로 역시  $\epsilon$ 이 크게 되지 않으면 不安定하게 된다.

따라서 그림 11의 左端과 같이 判斷할 수 있다. 또  $a_{00}$ 와  $a_{01}$ 이 安定值인 것으로부터 閉區間  $[a_{00}, a_{01}]$ 이 安定領域에 속하는 것도 알 수 있다.

表 4  $\varepsilon = 0$  때의 상태

$n$	$n=0$	$n=1$	$n=2$	$n=3$
基 本 解	$\cos(0)$	$\cos\left(\frac{z}{2}\right)$	$\cos(z)$	$\cos\left(\frac{3z}{2}\right)$
	$\sin(0)$	$\sin\left(\frac{z}{2}\right)$	$\sin(z)$	$\sin\left(\frac{3z}{2}\right)$

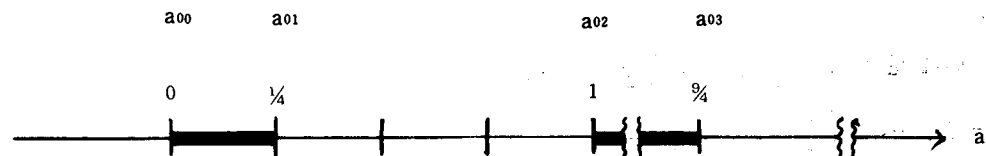


그림 11  $\epsilon=0$  때의  $a_{\phi i}$ 의 分布